



МОСКОВСКИЙ ГОСУДАРСТВЕННЫЙ УНИВЕРСИТЕТ ИМЕНИ М. В. ЛОМОНОСОВА
Факультет вычислительной математики и кибернетики
Кафедра системного анализа

Курсовая работа

**«Исследование динамики нелинейных
дискретных и непрерывных динамических
систем на плоскости»**

Студент 315 группы
А. А. Анашкина

Руководитель практикума
к.ф.-м.н., доцент П. А. Точилин

Содержание

1	Исследование дискретной системы без запаздывания	2
1.1	Постановка задачи	2
1.2	Нахождение неподвижных точек системы	2
1.3	Исследование характера устойчивости неподвижных точек	3
1.4	Проверка существования циклов длины 2 и 3	5
1.5	Построение бифуркационной диаграммы	8
1.6	Показатель Ляпунова	11
2	Исследование дискретной системы с запаздыванием	13
2.1	Постановка задачи	13
2.2	Поиск особых точек системы	13
2.3	Исследование характера устойчивости особых точек	13
2.4	Бифуркация Неймарка—Сакера	15
3	Исследование нелинейной динамической системы с непрерывным временем на плоскости	18
3.1	Постановка задачи	18
3.2	Биологическая интерпретация характеристик системы	18
3.3	Введение безразмерных переменных	19
3.4	Исследование неподвижных точек и характера их устойчивости	20
3.5	Построение фазовых портретов системы	23
3.6	Исследование предельных циклов	24
3.7	Биологическая интерпретация полученных результатов	25

1 Исследование дискретной системы без запаздывания

1.1 Постановка задачи

Для анализа представлена следующая дискретная система без запаздывания:

$$u_{t+1} = ru_t (1 - u_t^3), \quad u_t \in (0, 1). \quad (1)$$

В ходе исследования системы 1 необходимо:

1. Найти неподвижные точки и исследовать их устойчивость;
2. Проверить существование циклов длины 2 и 3;
3. Построить бифуркационную диаграмму (в смысле предельного поведения траекторий) в зависимости от значения бифуркационного параметра (значения других параметров и значение u_0 следует зафиксировать при построении);
4. Построить зависимость показателя Ляпунова от значения параметра.

1.2 Нахождение неподвижных точек системы

Рассмотрим следующую дискретную динамическую систему:

$$\begin{cases} u_{t+1} = f(u_t), & t = 0, 1, 2, \dots \\ u|_{t=0} = u_0 \end{cases} \quad (2)$$

Здесь $u_t \in X \subset \mathbb{R}^n \quad \forall t = 0, 1, 2, \dots$

Определение 1. Множество X называется пространством состояний системы 2.

Определение 2. Особыми (неподвижными) точками системы 2 называются точки $u^* \in X$, удовлетворяющие выражению:

$$u^* = f(u^*).$$

Перейдём к поиску особых точек системы 1:

$$\begin{aligned} u &= ru(1 - u^3), \\ u(1 - r(1 - u^3)) &= 0. \end{aligned}$$

Отсюда сразу находим особую точку $u_0^* = 0$.

Вторая неподвижная точка зависит от параметра системы r :

$$\begin{aligned} 1 - r + ru^3 &= 0, \\ u_1^* &= \sqrt[3]{\frac{r-1}{r}}. \end{aligned} \quad (3)$$

Рассмотрим при каких значениях параметра r особая точка u_1^* существует. По условию задачи $u \in (0, 1)$. Тогда для выражения 3 можем записать неравенство:

$$0 < \frac{r-1}{r} < 1.$$

Отсюда получим $r > 1$. Причём при $r = 1$ точка u_1^* вырождается в точку u_0^* .

Итак, нашли две неподвижные точки системы 1:

$$u_0^* = 0, \quad \forall r \in \mathbb{R}, \quad (4)$$

$$u_1^* = \sqrt[3]{\frac{r-1}{r}}, \quad r > 1. \quad (5)$$

1.3 Исследование характера устойчивости неподвижных точек

Сначала рассмотрим всю необходимую теорию.

Определение 3. Неподвижная точка u^* называется устойчивой по Ляпунову, если $\forall \epsilon > 0 \exists \delta(\epsilon) > 0$ и $\forall \bar{u}$ такого, что $\|\bar{u} - u^*\| < \delta$, выполняется $\|u(t, \bar{u}) - u^*\| < \epsilon$.

Определение 4. Точка u^* — асимптотически устойчива по Ляпунову, если дополнительно в Определении 3 :

$$\lim_{t \rightarrow \infty} \|u(t, \bar{u}) - u^*\| = 0$$

Определение 5. Неподвижная точка u^* называется неустойчивой, если она не является устойчивой.

Следующее утверждение рассматриваем в обозначениях системы 2. Точка u^* — особая точка этой системы.

Утверждение 1. Если $|f'(u^*)| < 1$, то u^* — асимптотически устойчивая неподвижная точка. Если $|f'(u^*)| > 1$, то u^* — неустойчивая неподвижная точка.

Замечание 1. Важно отметить, что если $|f'(u^*)| = 1$, то о характере устойчивости неподвижной точки u^* ничего сказать нельзя, и требуются дополнительные исследования.

Перейдем к рассмотрению особых точек системы 1, найденных в 1.2.

Чтобы воспользоваться Утверждением 1, необходимо найти производную правой части системы 1:

$$\begin{aligned} f(u_t) &= ru_t(1 - u_t^3), \\ f'(u_t) &= r - 4ru_t^3. \end{aligned}$$

Сначала проведем анализ для точки $u_0^* = 0$:

$$f'(u_0^*) = r.$$

Получили результат, зависящий от параметра. Тогда можем рассмотреть несколько случаев. Считаем, что всегда $r > 0$.

Если $r < 1$, то $|f'(u_0^*)| < 1$, значит по Утверждению 1 u_0^* — асимптотически устойчивая неподвижная точка. Ниже приведена иллюстрация, доказывающая, что при данных ограничениях на параметр u_0^* — аттрактор.

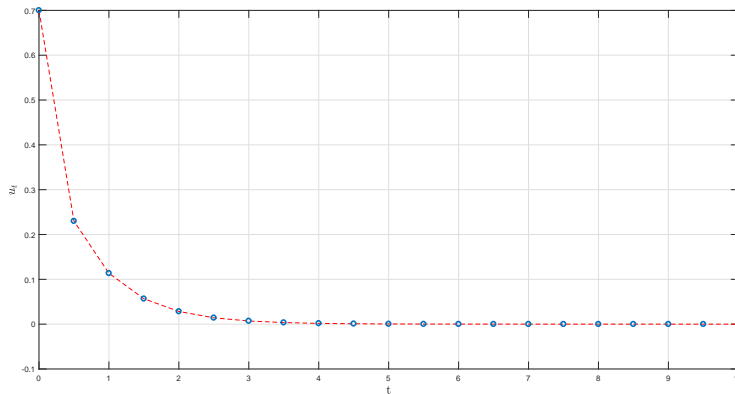


Рис. 1: Траектория системы при $u_0 = 0.7$, $r = 0.5$

Если $r > 1$, то по *Утверждению 1* u_0^* — неустойчивая неподвижная точка. Ниже представлена иллюстрация, доказывающая, что в данном случае u_0^* — репеллер.

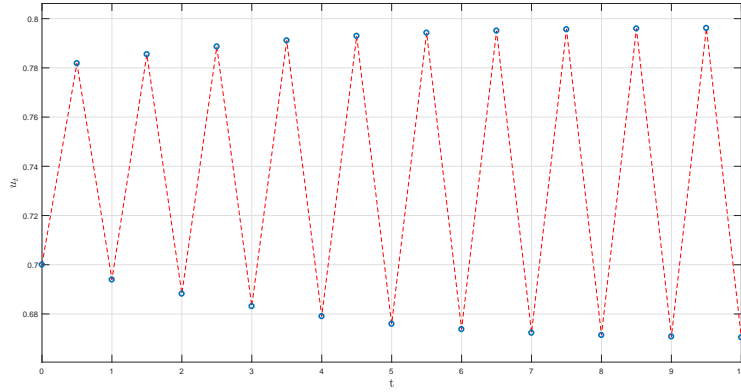


Рис. 2: Траектория системы при $u_0 = 0.7$, $r = 1.7$

Если $r = 1$, то об устойчивости неподвижной точки u_0^* ничего сказать нельзя. Теперь проанализируем устойчивость точки $u_1^* = \sqrt[3]{\frac{r-1}{r}}$:

$$f'(u_1^*) = 4 - 3r.$$

Рассмотрим ситуацию, когда $|f'(u_1^*)| < 1$:

$$-1 < 4 - 3r < 1,$$

$$-5 < -3r < -3,$$

$$1 < r < \frac{5}{3}.$$

Таким образом, по *Утверждению 1* при $r \in (1, \frac{5}{3})$ точка u_1^* — асимптотически устойчивое положение равновесия. Ниже представлена иллюстрация, доказывающая, что в данном случае u_1^* — аттрактор.

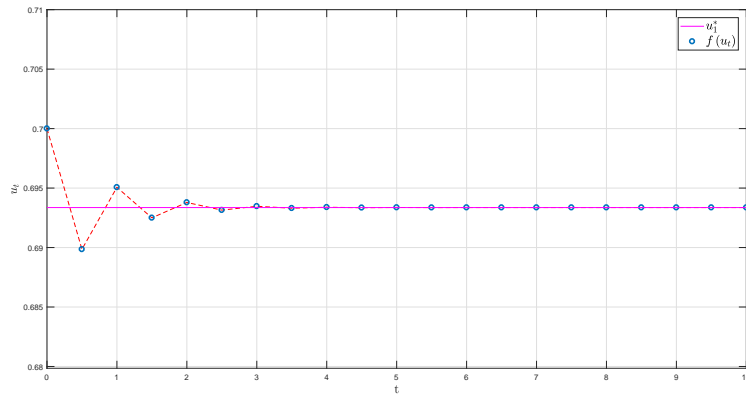


Рис. 3: Траектория системы при $u_0 = 0.7$, $r = 1.5$

Теперь рассмотрим случай $|f'(u_1^*)| > 1$. В 1.2 вычислили, что u_1^* существует при $r > 1$. Значит достаточно рассмотреть неравенство:

$$4 - 3r < -1,$$

$$r > \frac{5}{3}.$$

В этом случае u_1^* — неустойчивое положение равновесия. Иллюстрация ниже подтверждает, что u_1^* — репеллер.

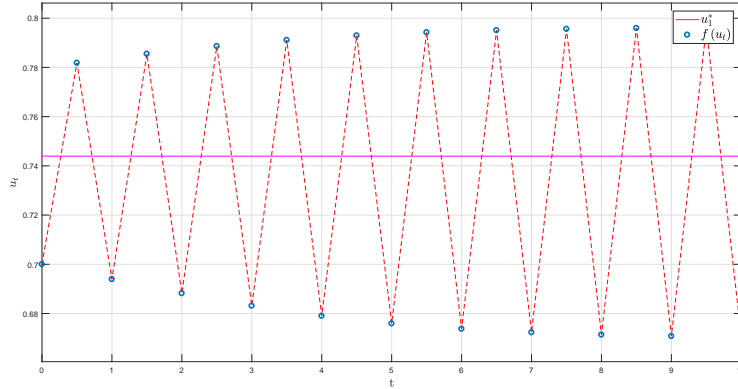


Рис. 4: Траектория системы при $u_0 = 0.7$, $r = 1.7$

Осталось рассмотреть случай $r = \frac{5}{3}$. Характер устойчивости точки u_1^* меняется в зависимости от u_0 , поэтому ничего конкретного про это положение сказать нельзя.

Итак, получим:

1. При $0 \leq r < 1$: u_0^* — аттрактор;
2. При $r = 1$: одна особая точка u_0^* , о характере устойчивости ничего сказать нельзя;
3. При $1 < r < \frac{5}{3}$: u_0^* — репеллер, u_1^* — аттрактор;
4. При $r = \frac{5}{3}$: u_0^* — репеллер, о характере устойчивости особой точки u_1^* ничего сказать нельзя;
5. При $r > \frac{5}{3}$: u_0^* — репеллер, u_1^* — репеллер.

1.4 Проверка существования циклов длины 2 и 3

Определение 6. Циклом длины k дискретной системы 2 называется упорядоченный набор точек $(\tilde{u}_1, \dots, \tilde{u}_k)$ такой, что

$$f(\tilde{u}_1) = \tilde{u}_2, \dots, f(\tilde{u}_{k-1}) = \tilde{u}_k, f(\tilde{u}_k) = \tilde{u}_1.$$

В силу определения цикла, каждая из точек \tilde{u}_i , $i = 1, 2, \dots, k$, является неподвижной точкой k -ой итерации отображения:

$$f^k(u) = \underbrace{f \circ \dots \circ f}_k.$$

Отсюда получим, что неподвижные точки самого отображения f также являются неподвижными точками отображения f^k .

Сначала попробуем найти цикл длины 3. Для этого рассмотрим график функции $f^3(u)$. Подбираем параметр r так, чтобы график касался биссектрисы первого координатного угла в трёх точках.

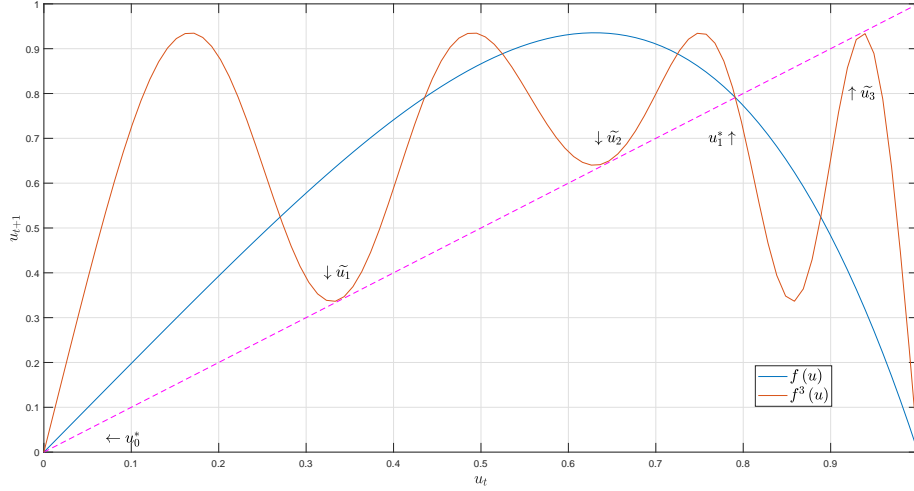


Рис. 5: Касание графика $f^3(u)$ биссектрисы первого координатного угла, $r = 1.98$

Таким образом, подобрав значение параметра, нашли случай, когда график функции $f^3(u)$ касается биссектрисы первого координатного угла в трёх точках. Значит можем сделать вывод, что в нашей задаче при фиксированном значении параметра цикл длины 3 существует. Посчитаем значения $\tilde{u}_1, \tilde{u}_2, \tilde{u}_3$ численно в системе MatLab. Причем правая часть системы 1 зависит от параметра r .

Для начала заметим, что в точках касания графика имеет место равенство:

$$\frac{df^3(u, r)}{du} = 1.$$

Так же из *Определения 6* для точек цикла справедливо равенство:

$$f^3(u, r) = u.$$

Теперь можем записать систему, содержащую две неизвестные: величину u и значение параметра r :

$$\begin{cases} f^3(u, r) = u, \\ \frac{df^3(u, r)}{du} = 1. \end{cases} \quad (6)$$

С помощью *Рис.5* определили, что нужное значение параметра находится в пределах $[1.7, 2]$. Перебором по параметру находим наилучшее решение:

$$\tilde{u}_1 \approx 0.3364.$$

$$r \approx 1.98$$

Тогда по формуле $f(\tilde{u}_{i-1}) = \tilde{u}_i$ $i = 2, 3$ находим оставшиеся точки цикла.

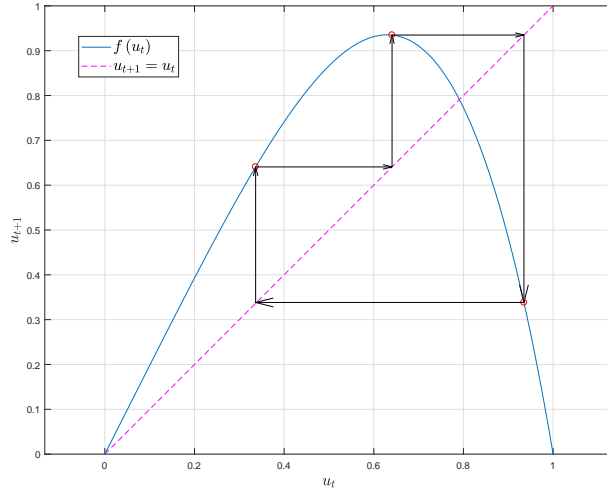


Рис. 6: Цикл длины 3

Итак, доказали, что в нашей системе есть цикл длины 3.

Определение 7. *Порядком по Шарковскому называется упорядочивание всех натуральных чисел:*

$$\begin{aligned}
 &3 \succ 5 \succ 7 \succ 9 \succ \dots \\
 &\succ 2 \cdot 3 \succ 2 \cdot 5 \succ 2 \cdot 7 \succ \dots \\
 &\succ 2^2 \cdot 3 \succ 2^2 \cdot 5 \succ 2^2 \cdot 7 \succ \dots \\
 &\succ \dots \succ \\
 &\succ 2^3 \succ 2^2 \succ 2 \succ 1.
 \end{aligned}$$

Теорема 1 (Шарковский). *Пусть динамическая система 2 имеет цикл длины k . Тогда для любого $m \in \mathbb{N}$ такого, что $k \succ m$ (в смысле Определения 7), в этой системе существует цикл длины m .*

Следствие 1. *Если динамическая система 2 имеет цикл длины 3, то в этой системе существуют циклы произвольной длины, то есть цикл длины 3 порождает «хаос».*

Вернёмся к рассмотрению задачи 1. Выше было доказано, что цикл длины 3 существует. Значит по Теореме 1 существует цикл длины 2. Найдём точки цикла аналогично 6. Для этого необходимо численно решить систему:

$$\begin{cases} f^2(u, r) = u, \\ \frac{df^2(u, r)}{du} = 1. \end{cases} \quad (7)$$

Итак, получим, что цикл длины 2 зарождается при $r \approx 1.7$, $\tilde{u}_1 \approx 0.6710$. Ниже рассмотрим пример с параметром $r > 1.7$ для большей наглядности.

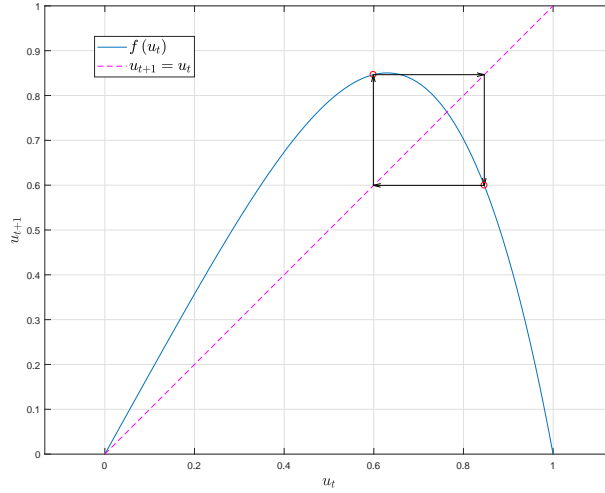


Рис. 7: Цикл длины 2, $r = 1.8$

1.5 Построение бифуркационной диаграммы

Определение 8. Множество точек $\{u(t, u_0) \mid t \in \mathbb{Z}\}$ — фазовая кривая (траектория) системы 2.

Определение 9. Набор фазовых траекторий — фазовый портрет системы 2.

Рассмотрим следующие динамические системы:

$$\dot{u}_1 = f(u_1), \quad u_1 \in \mathbb{R}, \quad (8)$$

$$\dot{u}_2 = g(u_1), \quad u_2 \in \mathbb{R}. \quad (9)$$

Определение 10. Динамические системы 8 и 9 топологически эквивалентны, если у них совпадает число особых точек, характер их устойчивости и положение на прямой.

Определение 11. Бифуркация — это получение топологически неэквивалентных фазовых портретов при изменении параметров системы.

Определение 12. Бифуркационной диаграммой динамической системы называется разбиение пространства параметров на максимальные связные подмножества, которые определяются соотношениями топологической эквивалентности и рассматриваются вместе с фазовыми портретами для каждого элемента разбиения.

При качественном анализе динамической системы желательно получить её бифуркационную диаграмму, так как в ней в сжатом виде содержатся все возможные модели поведения данной системы. Бифуркационная диаграмма одномерной динамической системы с одним параметром r может быть представлена на плоскости (r, u) . Фазовые портреты в данном случае — это сечения бифуркационной диаграммы при $r = \text{const}$.

Построим бифуркационную диаграмму для системы 1.

Утверждение 2 (Алгоритм построения бифуркационной диаграммы). Введём необходимые обозначения:

N — число итераций (достаточно большое) необходимое для того, чтобы система, если это возможно, стабилизировалась. В нашем случае $N = 500$.

M — число итераций необходимое для того, чтобы найти возможные положения равновесия в данном состоянии. В нашем случае $M = 100$.

Введем вспомогательную переменную v . Положим $v_0 = 0.1$ — начальное состояние системы.

1. Определяем отрезок $[r_0, r_{max}]$ на котором будем производить исследование. Пусть $r \in [0, 2.1]$.
2. Запускаем цикл по j , перебирая по равномерной сетке все значения r .
3. Для каждого значения r_j запускаем цикл по i от 1 до N , в котором находим $v_{i+1} = r_j v_i (1 - v_i^3)$. В конце получаем значение v_N .
4. Далее запускаем новый цикл по i от 1 до M . Полагаем $u_0 = v_N$, и на каждой итерации вычисляем $u_{i+1} = r_j u_i (1 - u_i^3)$. Каждое полученное значение заносим на график как точку с координатами (r_j, u_i) .

Таким образом, бифуркационная диаграмма получена.

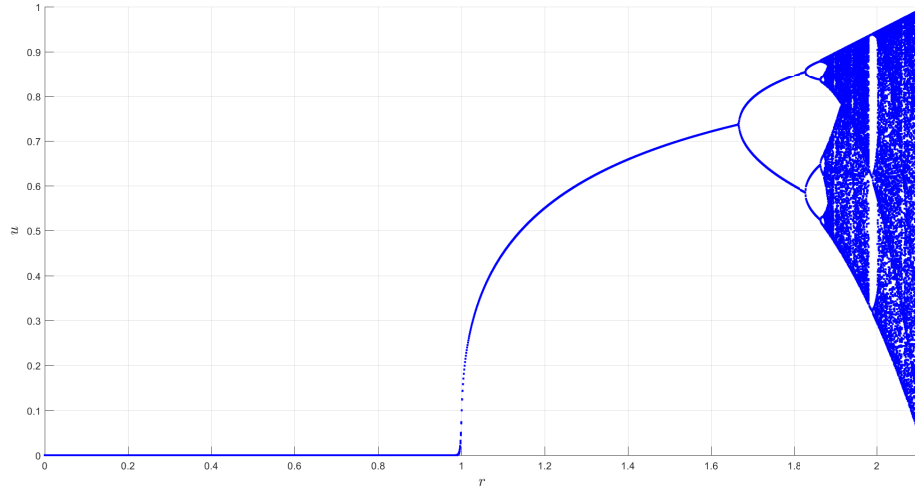


Рис. 8: Бифуркационная диаграмма системы

Проанализируем полученные результаты:

1. Неподвижная точка $u_0^* = 0$ является предельной при $r \in [0, 1]$.
2. Неподвижная точка $u_1^* = \sqrt[3]{\frac{r-1}{r}}$ является предельной при $r \in (1, 1.67]$.
3. При $r \in (1.67, 1.83)$ получаем цикл длины 2, что подтверждает результаты, полученные в 1.4.

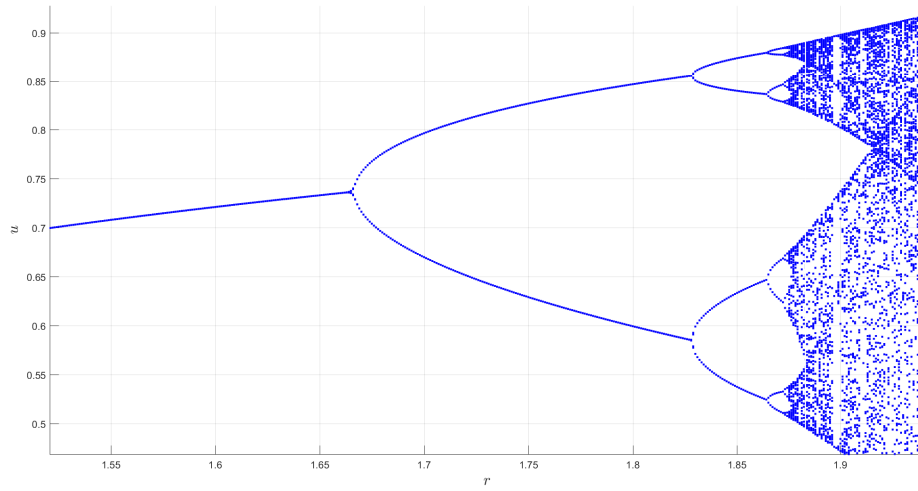


Рис. 9: Часть бифуркационной диаграммы, соответствующая циклу длины 2

4. При $r \in (1.9822, 1.9878)$ получаем цикл длины 3, что подтверждает результаты, полученные в 1.4.

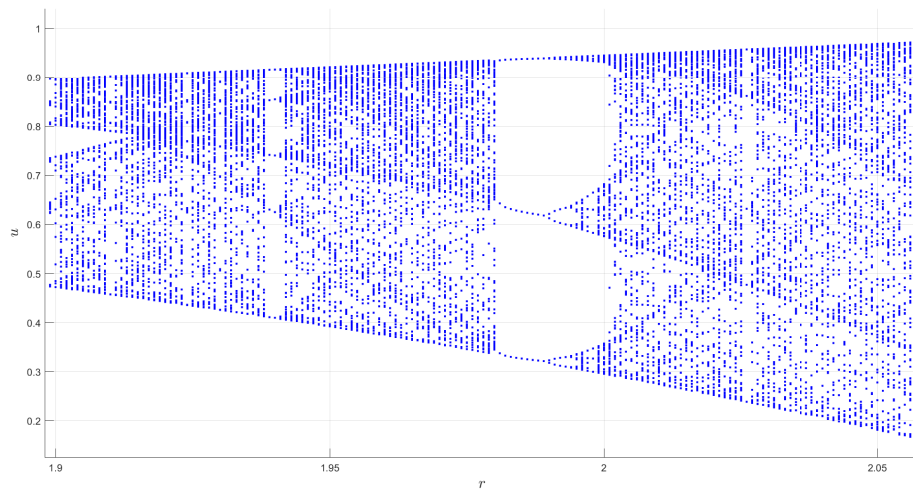


Рис. 10: Часть бифуркационной диаграммы, соответствующая циклу длины 3

5. Из *Следствия 1* цикл длины 3 порождает «хаос», что мы и наблюдаем на *Рис. 8*.

1.6 Показатель Ляпунова

Пусть u_0 и \bar{u}_0 — две достаточно близкие начальные точки системы 2. Рассмотрим траектории, порождённые этими двумя точками:

$$u_0, u_1, \dots, u_k, \dots; \quad \bar{u}_0, \bar{u}_1, \dots, \bar{u}_k, \dots$$

Возникает вопрос, как измерить расстояние между этими двумя траекториями.

Определение 13. Числом Ляпунова траектории $u_0, u_1, \dots, u_k, \dots$ называется величина

$$\ell(u_0) = \lim_{n \rightarrow \infty} (|f'(u_0)| \cdot |f'(u_1)| \cdot \dots \cdot |f'(u_n)|)^{\frac{1}{n}},$$

если этот предел существует.

Определение 14. Показателем Ляпунова траектории $u_0, u_1, \dots, u_k, \dots$ называется величина

$$h(u_0) = \lim_{n \rightarrow \infty} \frac{\ln |f'(u_0)| + \ln |f'(u_1)| + \dots + \ln |f'(u_n)|}{n},$$

если этот предел существует.

Число и показатель Ляпунова характеризуют поведение близких траекторий при изменении дискретной величины t . Показатель Ляпунова является легко вычислимым признаком хаотического поведения траекторий. Если $h(u_0)$ положителен, то близкие траектории разбегаются, и в системе может наблюдаться хаотическое поведение. Поэтому нас интересует выявление зависимости показателя Ляпунова от значения параметра системы 1.

Все вычисления и построение графика зависимости показателя Ляпунова $h(u_0, r)$ от значения параметра r проводим в системе MatLab. Выберем $u_0 = 0.1$.

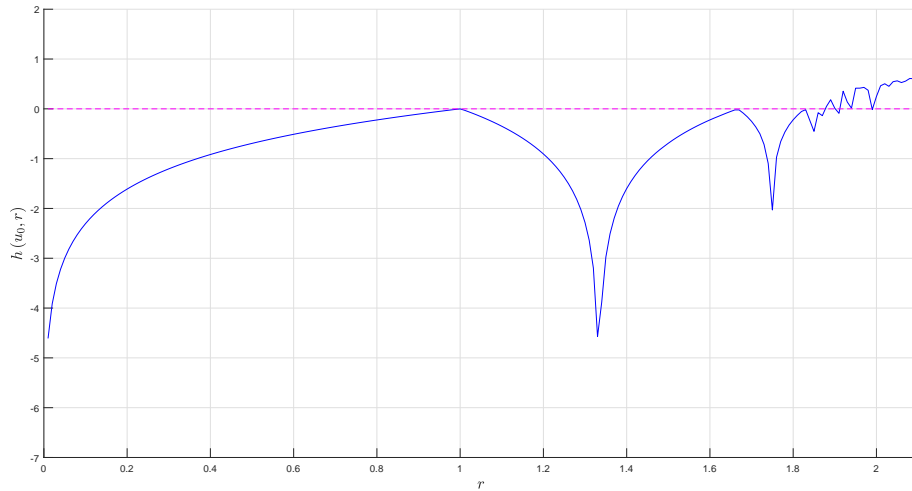


Рис. 11: График зависимости показателя Ляпунова $h(u_0, r)$ от значения параметра r

Заметим, что при $r \in [0.5, 1.8763) \cup (1.9003, 1.9116)$ значение $h(u_0, r) < 0$, значит траектории с близкими начальными точками бесконечно сближаются. При остальных значениях параметра близкие траектории разбегаются, и в системе наблюдается «хаос», что подтверждает результаты, полученные при построении бифуркационной диаграммы.

Рассмотрим график подробнее:

1. При $0 < r < 1$, $h(u_0, r) < 0$: траектории сближаются, так как на этом промежутке особая точка u_0^* — аттрактор, и все траектории сходятся к ней.
2. При $r \in (1, 1.67)$, $h(u_0, r) < 0$: траектории сближаются, так как особая точка u_1^* — аттрактор, и все траектории сходятся к ней.
3. При $r \in (1.67, 1.83)$, $h(u_0, r) < 0$: траектории сближаются, так как в системе при данных значениях параметра появляется цикл длины 2.
4. При $r \in (1.83, 1.8763)$, $h(u_0, r) < 0$: траектории сближаются, так как в системе возникают циклы длины 4 и 8.
5. При $r \in (1.9003, 1.9116)$, $h(u_0, r) < 0$: траектории сближаются, так как примерно на этом промежутке возникает цикл длины 3.

2 Исследование дискретной системы с запаздыванием

2.1 Постановка задачи

Для анализа предлагается следующая дискретная система с запаздыванием:

$$u_{t+1} = ru_t (1 - u_{t-1}^3). \quad (10)$$

В ходе исследования системы 10 необходимо:

1. Найти особые точки и исследовать их устойчивость;
2. Проверить существование бифуркации Неймарка—Сакера, если она присутствует — построить инвариантную кривую.

2.2 Поиск особых точек системы

Для начала введём замену переменных, чтобы перейти от решения исходной задачи 10 к исследованию двумерной системы:

$$\begin{aligned} v_1(t) &= u_t, \\ v_2(t) &= u_{t-1}. \end{aligned}$$

Тогда получим следующую систему:

$$\begin{cases} v_1(t+1) = rv_1(t)(1 - v_2^3(t)), \\ v_2(t+1) = v_1(t). \end{cases} \quad (11)$$

Особые точки найдём, решив систему:

$$\begin{cases} v_1 = rv_1(1 - v_2^3), \\ v_2 = v_1. \end{cases}$$

Итак, получим особые точки:

$$v_0^* = (0, 0), \quad v_1^* = \left(\sqrt[3]{\frac{r-1}{r}}, \sqrt[3]{\frac{r-1}{r}} \right). \quad (12)$$

Однако v_1^* зависит от значения параметра r системы, поэтому необходимо рассмотреть промежутки её существования. Из биологической интерпретации $v_1(t) > 0, \quad \forall t \in \mathbb{Z}$. Таким образом, необходимо решить следующее неравенство:

$$\begin{aligned} \frac{r-1}{r} &> 0 \\ \frac{1}{r} &< 1 \quad \Rightarrow r > 1. \end{aligned}$$

Получим, что особая точка v_1^* существует при $r > 1$.

2.3 Исследование характера устойчивости особых точек

Рассмотрим следующую динамическую систему:

$$u_{t+1} = f(u_t). \quad (13)$$

Здесь $u_t \in \mathbb{R}^m, \quad f: \mathbb{R}^m \rightarrow \mathbb{R}^m, \quad t \in \mathbb{Z}$.

Теорема 2. Пусть u^* — особая точка системы 13, μ_1, \dots, μ_n — собственные значения матрицы Якоби функции f в точке u^* . Тогда если $|\mu_i| < 1 \quad \forall i = 1, \dots, n$, то u^* — устойчивое положение равновесия. Если существует хотя бы одно значение $\mu_i: |\mu_i| > 1$, то положение равновесия u^* неустойчиво.

Воспользуемся этой теоремой для решения поставленной задачи. Для начала необходимо найти матрицу Якоби системы 13:

$$A(v_1, v_2) = \begin{pmatrix} \frac{\partial f_1}{\partial v_1} & \frac{\partial f_1}{\partial v_2} \\ \frac{\partial f_2}{\partial v_1} & \frac{\partial f_2}{\partial v_2} \end{pmatrix} = \begin{pmatrix} r(1 - v_2^3) & -3rv_1v_2^2 \\ 1 & 0 \end{pmatrix}. \quad (14)$$

Посчитаем значения матрицы Якоби в точке v_0^* :

$$A(0, 0) = \begin{pmatrix} r & 0 \\ 1 & 0 \end{pmatrix}.$$

Рассмотрим характеристический многочлен матрицы:

$$\mathcal{X} = (r - \mu) \cdot (-\mu).$$

Теперь найдём собственные значения матрицы:

$$\mathcal{X} = 0 \Rightarrow$$

$$\mu_1 = 0, \quad \mu_2 = r.$$

Воспользуемся *Теоремой 2* для исследования характера устойчивости особой точки v_0^* :

1. $\mu_1 < 0, \quad \forall r > 0$.
2. Если $0 < r < 1$, то $\mu_2 < 1$, значит v_0^* — асимптотически устойчивая особая точка.
3. Если $r > 1$, то $\mu_2 > 1$, значит v_0^* — неустойчивая особая точка.
4. Если $r = 1$, то о характере устойчивости особой точки v_0^* ничего сказать нельзя.

Перейдём к исследованию характера устойчивости особой точки v_1^* . Напомним, что она существует при $r > 1$.

Посчитаем значения матрицы Якоби 14 в точке v_1^* :

$$A\left(\sqrt[3]{\frac{r-1}{r}}, \sqrt[3]{\frac{r-1}{r}}\right) = \begin{pmatrix} 1 & 3(1-r) \\ 1 & 0 \end{pmatrix}.$$

Рассмотрим её характеристический многочлен:

$$\mathcal{X} = (1 - \mu) \cdot (-\mu) + 3(r - 1).$$

Найдём собственные значения матрицы:

$$\mathcal{X} = 0 \Rightarrow$$

$$\mu_{1,2} = \frac{1 \pm \sqrt{13 - 12r}}{2}. \quad (15)$$

Сначала рассмотрим случай, когда полученные собственные значения вещественные, то есть $r < \frac{13}{12}$. Чтобы воспользоваться *Теоремой 2*, необходимо сравнить модули собственных значений с единицей:

$$\begin{aligned} |\mu_1| &= \left| \frac{1 + \sqrt{13 - 12r}}{2} \right| < 1 \\ -3 &< \sqrt{13 - 12r} < 1, \\ 13 - 12r &< 1, \\ -12r &< -12, \\ r &> 1. \end{aligned}$$

Получили, что если $\mu_1 \in \mathbb{R}$, то всегда $\mu_1 < 1$.

$$\begin{aligned}
|\mu_2| &= \left| \frac{1 - \sqrt{13 - 12r}}{2} \right| < 1 \\
-1 &< \sqrt{13 - 12r} < 3, \\
13 - 12r &< 9, \\
-12r &< -4, \\
r &> \frac{1}{3}.
\end{aligned}$$

Получили, что при $1 < r \leq \frac{13}{12}$ собственные значения $\mu_{1,2} < 1$. Значит по *Теореме 2* особая точка v_1^* асимптотически устойчива.

Теперь рассмотрим случай, когда полученные собственные значения 15 комплексные. В этом случае $r > \frac{13}{12}$.

$$\mu_{1,2} = \frac{1}{2} \pm \frac{\sqrt{12r - 13}}{2}i.$$

Посчитаем квадрат модуля этих величин:

$$|\mu_{1,2}|^2 = \frac{1}{4} + \frac{12r - 13}{4} = \frac{12r - 12}{4} = 3r - 3.$$

Сравним полученное значение с единицей:

$$3r - 3 < 1 \Rightarrow r < \frac{4}{3}.$$

Тогда по *Теореме 2* можем сделать выводы о характере устойчивости точки v_1^* :

1. Если $1 < r < \frac{4}{3}$, то $\mu_{1,2} < 1$ и точка v_1^* асимптотически устойчива.
2. Если $r = \frac{4}{3}$, то о характере устойчивости точки v_1^{ast} ничего сказать нельзя.
3. Если $r > \frac{4}{3}$, то v_1^* — неустойчивая особая точка.

2.4 Бифуркация Неймарка—Сакера

Рассмотрим систему 13 при $u_t \in \mathbb{R}^2$. Для неё справедливо следующее определение.

Определение 15. Бифуркация положения равновесия, соответствующая появлению собственных значений $\mu_1 = \overline{\mu_2}$, $|\mu_1| = |\mu_2| = 1$, называется бифуркацией Неймарка—Сакера.

Из определения следует, что при прохождении параметром r бифуркационного значения происходит смена устойчивости неподвижной точки. Из 2.3, можем заметить, что бифуркационное значение $r = \frac{4}{3}$. При $r < \frac{4}{3}$ особая точка v_1^* устойчива, а при $r > \frac{4}{3}$ она становится неустойчивой. Исходя из теории, при прохождении параметром значения $\frac{4}{3}$ в малой окрестности точки u_1^* должно происходить рождение замкнутой инвариантной кривой. Проверим это с помощью графического представления фазового портрета в системе MatLab.

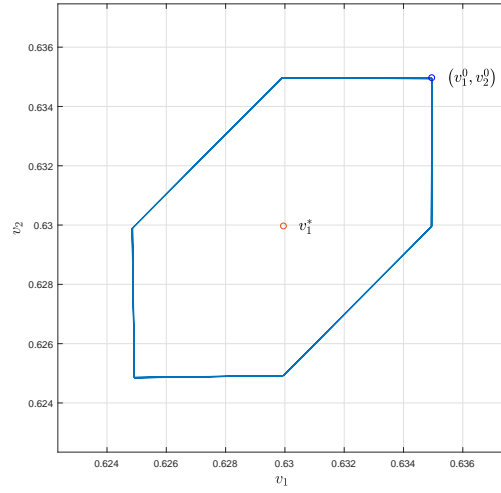


Рис. 12: Фазовый портрет при $r = \frac{4}{3}$

Получили несколько замкнутых траекторий, расположенных очень близко друг к другу. Теперь рассмотрим как изменятся траектории при небольшом изменении параметра. Пусть $\epsilon = 0.005$.

Заметим, что на *Рис.13* траектории приближаются к точке u_1^* , это естественно, так как при уменьшении параметра особая точка становится устойчивой. Аналогично на *Рис.14* при увеличении параметра траектории удаляются от особой точки, так как она неустойчива. Глядя на графики, можем сказать, что замкнутые траектории не сохранились, значит инвариантные кривые неустойчивы.

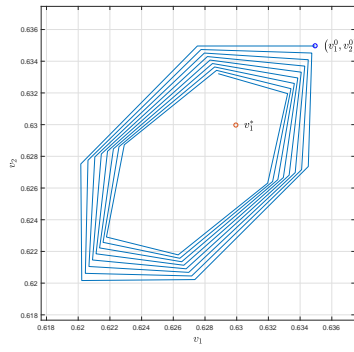


Рис. 13: Фазовый портрет при отклонении параметра $r = \frac{4}{3} - \epsilon$

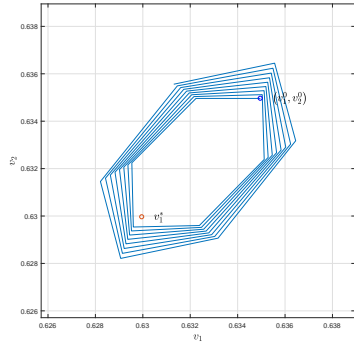


Рис. 14: Фазовый портрет при отклонении параметра $r = \frac{4}{3} + \epsilon$

3 Исследование нелинейной динамической системы с непрерывным временем на плоскости

3.1 Постановка задачи

Для анализа предлагается следующая нелинейная динамическая система с непрерывным временем:

$$\begin{cases} \dot{x} = \frac{ax^2}{N+x} - bxy, \\ \dot{y} = -cy + dxy, \end{cases} \quad (x, y) \in \mathbb{R}_+^2; \quad (16)$$

В ходе исследования системы 16 необходимо:

1. Дать биологическую интерпретацию характеристик системы;
2. Ввести новые безразмерные переменные, максимально уменьшив число входящих параметров. Выбрать два свободных параметра. Если число параметров больше двух, то считать остальные параметры фиксированными;
3. Найти неподвижные точки системы и исследовать их характер в зависимости от значений параметров. Результаты исследования представить в виде параметрического портрета системы;
4. Для каждой характерной области параметрического портрета построить фазовый портрет. Дать характеристику поведения системы в каждом из этих случаев;
5. Исследовать возможность возникновения предельного цикла. В положительном случае найти соответствующее первое ляпуновское число. Исследовать характер предельного цикла;
6. Дать биологическую интерпретацию полученным результатам.

3.2 Биологическая интерпретация характеристик системы

Система 16 является системой типа «хищник-жертва». В общем случае, модель описывается следующим образом:

$$\begin{cases} \dot{x} = A(x) - B(x, y), \\ \dot{y} = -C(y) + D(x, y). \end{cases} \quad (17)$$

Здесь x, y — численности жертв и хищников соответственно, $A(x)$ — функция, описывающая размножение жертв при отсутствии хищников, $C(y)$ — функция, описывающая вымирание хищников при отсутствии жертв, функция $B(x, y)$ описывает выедание жертв хищниками, $D(x, y)$ — эффективность потребления жертв хищниками.

В нашем случае в функции $A(x) = \frac{ax^2}{N+x}$ учитывается нелинейность размножения жертв при малой численности популяции, вызванная, например, отсутствием достаточного количества брачных пар.

Обычно считается, что функции $B(x, y)$, $D(x, y)$ можно представить в виде:

$$B(x, y) = B_1(x) B_2(y), \quad D(x, y) = D_1(x) D_2(y).$$

Функция $B_1(x)$ называется трофической функцией хищника. В нашей системе $B_1(x) = bx$ — линейная функция. Функция $B_2(y) = y$ описывает зависимость скорости выедания жертвы от плотности популяции хищника. Тогда

$$B(x, y) = yB_1(x).$$

Можно объяснить такой вид зависимости исключением из рассмотрения конкуренции хищников за жертв. Естественнее предположить, что отсутствие конкуренции означает малую

плотность популяции хищников.

Функция $D_1(x) = x$ пропорциональна $B_1(x)$, а $D_2(y) = dy$. Это значит, что коэффициент переработки хищником пищи в собственную биомассу постоянен, то есть

$$D(x, y) = \frac{d}{b} y B_1(x).$$

Функция $C(y)$ отвечает за вымирание хищников при отсутствии популяции жертв. В нашем случае $C(y) = cy$, то есть зависимость от численности хищников линейная.

3.3 Введение безразмерных переменных

Введём замену переменных $t = T\tau$, $x = Ap(\tau)$, $y = Bq(\tau)$. Здесь T, A, B — положительные постоянные. Далее можем записать:

$$\frac{d}{dt} = \frac{d}{d\tau} \cdot \frac{d\tau}{dt} = \frac{1}{T} \cdot \frac{d}{d\tau}.$$

Тогда систему 16 можно записать в виде:

$$\begin{cases} \frac{A}{T} \dot{p} = \frac{aA^2 p^2}{N + Ap} - bABpq, \\ \frac{B}{T} \dot{q} = -cBq + dABpq. \end{cases}$$

Упростим оба выражения системы:

$$\begin{cases} \dot{p} = \frac{ap^2}{\frac{N}{A} + p} T - bBTpq, \\ \dot{q} = -cTq + dTApq. \end{cases}$$

Пусть теперь

$$T = \frac{1}{a}, \quad B = \frac{a}{b}, \quad A = \frac{a}{d}.$$

Тогда система будет выглядеть следующим образом:

$$\begin{cases} \dot{p} = \frac{p^2}{\frac{Nd}{a} + p} - pq, \\ \dot{q} = -\frac{c}{a}q + pq. \end{cases}$$

Обозначим

$$\gamma = \frac{Nd}{a} > 0, \quad \mu = \frac{c}{a} > 0.$$

Переобозначим $p \leftrightarrow x$, $q \leftrightarrow y$. Тогда получим систему с привычными переменными:

$$\begin{cases} \dot{x} = \frac{x^2}{\gamma + x} - xy, \\ \dot{y} = -\mu y + xy, \end{cases} \quad (x, y) \in \mathbb{R}_+^2, \quad \gamma > 0, \quad \mu > 0. \quad (18)$$

3.4 Исследование неподвижных точек и характера их устойчивости

Рассмотрим систему, определённую в области $D \subset \mathbb{R}^n$:

$$\begin{cases} \dot{x} = f(x), & x \in D, \\ x(0) = x^0. \end{cases} \quad (19)$$

Определение 16. Точку пространства $a \in D$ такую, что $f(a) = 0$, называют положением равновесия, или особой точкой системы 19.

Тогда для нахождения особых точек системы 18 необходимо решить следующую систему:

$$\begin{cases} x \left(\frac{x}{\gamma + x} - y \right) = 0, \\ y(x - \mu) = 0. \end{cases} \quad (20)$$

Очевидно, точка $(0, 0)$ является решением системы 20. Далее считаем $x \neq 0, y \neq 0$. Тогда система 20 преобразуется к виду:

$$\begin{cases} \frac{x}{\gamma + x} = y, \\ x = \mu. \end{cases} \quad (21)$$

Отсюда легко находим вторую особую точку $\left(\mu, \frac{\mu}{\gamma + \mu} \right)$.

Таким образом, система 18 содержит две неподвижные точки:

$$O(0, 0), \quad A\left(\mu, \frac{\mu}{\gamma + \mu}\right).$$

Теперь перейдём к исследованию характера устойчивости особых точек. Обозначим через λ_i собственные значения матрицы Якоби системы 19

Теорема 3 (Ляпунова—Пуанкаре). Нулевое положение равновесия системы 19 является асимптотически устойчивым, если $\operatorname{Re} \lambda_i < 0$, $i = 1, \dots, n$. Если существует $\lambda_j : \operatorname{Re} \lambda_j > 0$, $j \in \{1, \dots, n\}$, то нулевое положение равновесия является неустойчивым. Если существует $\lambda_j : \operatorname{Re} \lambda_j = 0$, $j \in \{1, \dots, n\}$, то о характере устойчивости положения равновесия ничего сказать нельзя, и требуются дополнительные исследования.

Для начала найдём матрицу Якоби для системы 18:

$$J(x, y) = \begin{pmatrix} \frac{\partial f_1}{\partial x} & \frac{\partial f_1}{\partial y} \\ \frac{\partial f_2}{\partial x} & \frac{\partial f_2}{\partial y} \end{pmatrix} = \begin{pmatrix} \frac{2x(\gamma + x) - x^2}{(\gamma + x)^2} - y & -x \\ y & -\mu + x \end{pmatrix} \quad (22)$$

1. Посчитаем значения матрицы Якоби в точке O :

$$J(0, 0) = \begin{pmatrix} 0 & 0 \\ 0 & -\mu \end{pmatrix}.$$

Рассмотрим характеристический многочлен полученной матрицы:

$$\mathcal{X} = -\lambda(-\mu - \lambda) = \lambda(\mu + \lambda).$$

Теперь можем найти собственные значения:

$$\mathcal{X} = 0 \quad \Rightarrow \quad \lambda_1 = 0, \quad \lambda_2 = -\mu.$$

По Теореме 3 ввиду того, что $\lambda_1 = 0$, можем сделать вывод, что о характере устойчивости нулевого положения ничего сказать нельзя.

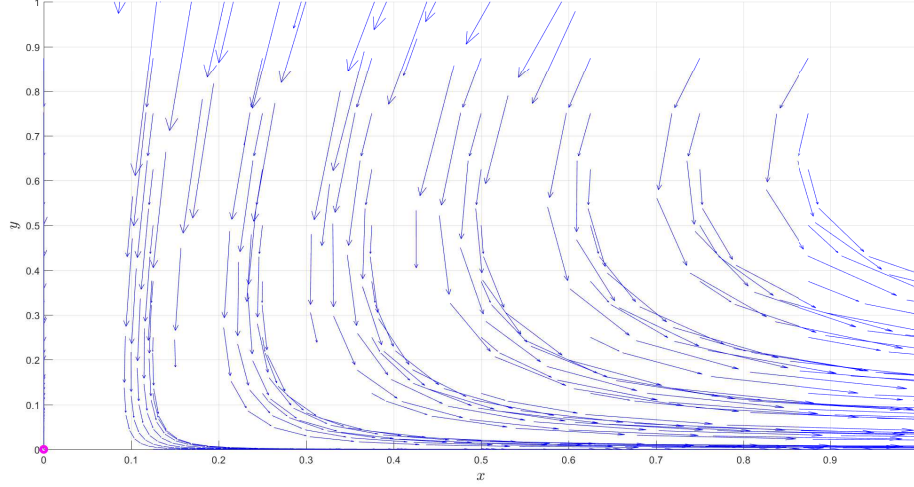


Рис. 15: Фазовый портрет при $\mu = 1.2$, $\gamma = 0.5$

На Рис. 15 представлен пример фазового портрета для исследования точки O . Заметим, что о характере её устойчивости ничего сказать нельзя, так как очень много траекторий отдаляются от неё, однако существуют и такие траектории, которые входят в нулевую точку.

2. Теперь исследуем характер устойчивости второй особой точки A . Посчитаем значение матрицы Якоби в этой точке:

$$J\left(\mu, \frac{\mu}{\gamma + \mu}\right) = \begin{pmatrix} \frac{\gamma\mu}{(\gamma + \mu)^2} & -\mu \\ \frac{\mu}{\gamma + \mu} & 0 \end{pmatrix}.$$

Рассмотрим характеристический многочлен полученной матрицы:

$$\mathcal{X} = -\lambda \left(\frac{\gamma\mu}{(\gamma + \mu)^2} - \lambda \right) + \frac{\mu^2}{\gamma + \mu} = \lambda^2 - \frac{\gamma\mu}{(\gamma + \mu)^2} \lambda + \frac{\mu^2}{\gamma + \mu}.$$

Таким образом, чтобы найти собственные значения матрицы Якоби, необходимо решить следующее квадратное уравнение относительно λ :

$$\lambda^2 (\gamma + \mu)^2 - \gamma\mu\lambda + \mu^2 (\gamma + \mu) = 0.$$

Посчитаем дискриминант:

$$D = \gamma^2 \mu^2 - 4\mu^2 (\gamma + \mu)^3.$$

Ввиду того, что параметры системы положительны, то есть $\mu > 0$, $\gamma > 0$, можно сказать, что $D < \gamma^2 \mu^2$. Теперь запишем корни уравнения:

$$\lambda_{1,2} = \frac{\gamma\mu \pm \sqrt{D}}{2(\gamma + \mu)^2} \quad (23)$$

Можно заметить, что в зависимости от значения дискриминанта рассмотрение устойчивости особой точки разбивается еще на два случая.

(a) Пусть $D \geq 0$:

$$\begin{aligned}\gamma^2 \mu^2 - 4\mu^2 (\gamma + \mu)^3 &\geq 0, \\ \gamma^2 &\geq 4(\gamma + \mu)^3, \\ \gamma^{\frac{2}{3}} &\geq \sqrt[3]{4}(\gamma + \mu), \\ \frac{1}{\sqrt[3]{4}}\gamma^{\frac{2}{3}} - \gamma &\geq \mu.\end{aligned}\tag{24}$$

Ранее показали, что $D < \gamma^2 \mu^2$, значит в этом случае оба корня λ_1, λ_2 — вещественные положительные числа.

Определение 17. В случае, когда $\lambda_{1,2} \in \mathbb{R}$ и $\lambda_1 \lambda_2 > 0$, положение равновесия называется узлом.

Так как $\operatorname{Re} \lambda_1 > 0, \operatorname{Re} \lambda_2 > 0$, то по Теореме 3 полученное положение равновесия является неустойчивым.

Таким образом, особая точка A является неустойчивым узлом.

(b) Пусть теперь $D < 0$. Аналогично предыдущему случаю получим, что

$$\frac{1}{\sqrt[3]{4}}\gamma^{\frac{2}{3}} - \gamma < \mu.\tag{25}$$

В этом случае корни уравнения $\lambda_{1,2} \in \mathbb{C}$, также они являются комплексносопряжёнными. Причём ввиду положительности параметров системы получим:

$$\operatorname{Re} \lambda_{1,2} = \frac{\gamma \mu}{2(\gamma + \mu)^2} > 0.$$

Определение 18. Положение равновесия называется фокусом, если $\bar{\lambda}_1 = \lambda_2, \operatorname{Re} \lambda_1 \neq 0$.

Так как $\operatorname{Re} \lambda_1 > 0, \operatorname{Re} \lambda_2 > 0$, то по Теореме 3 полученное положение равновесия является неустойчивым.

Таким образом, особая точка A является неустойчивым фокусом.

Для более удобного анализа построим параметрический портрет системы (γ, μ) .

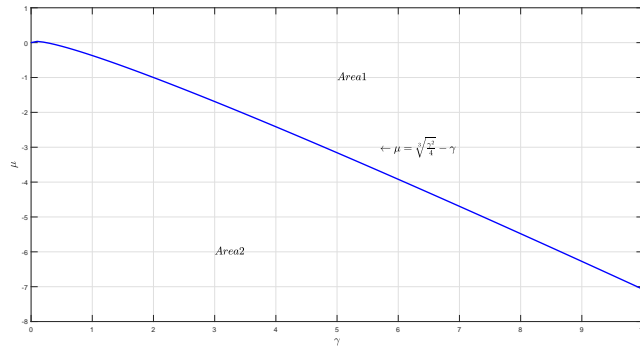


Рис. 16: Параметрический портрет системы

По *Рис. 16* замечаем, что параметрическая плоскость делится на две части. Первая область соответствует случаю, когда точка A — неустойчивый фокус. Вторая область соответствует случаю, когда A — неустойчивый узел. Заметим, что большая часть графика находится в области $\mu < 0$, но при рассмотрении системы 18 мы полагали значения параметров положительными. Значит нам подходит только та часть параметрического портрета где $\mu > 0$.

3.5 Построение фазовых портретов системы

Фазовый портрет в окрестности точки O построен на *Рис. 15*. Нас будут интересовать фазовые портреты в окрестности точки A . В 3.4 мы узнали, что положение равновесия является либо узлом, либо фокусом в зависимости от значений параметров. Также эти наблюдения отражены на *Рис. 16*.

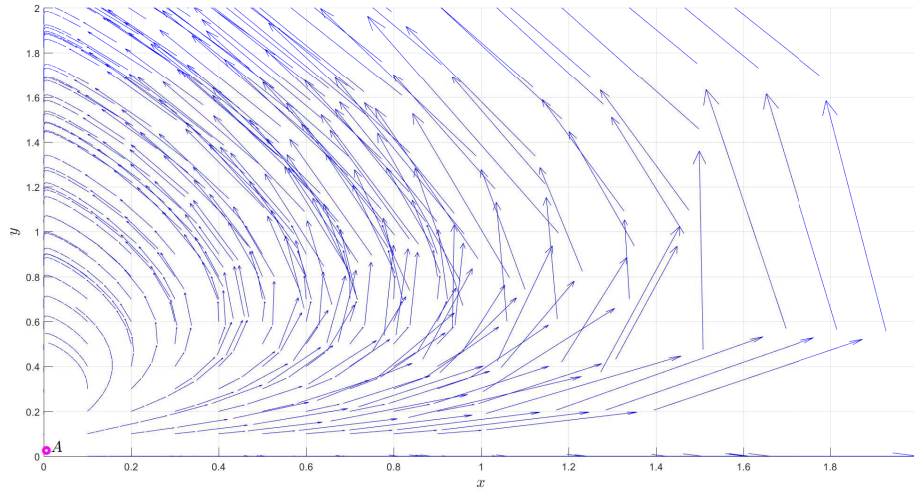


Рис. 17: Фазовый портрет системы при $\mu = 0.06$, $\gamma = 0.23$

По *Рис. 17* становится понятно, что точка $A(0.06, 0.207)$ — неустойчивый узел при данных значениях параметров. Убедимся в этом, подставив значения μ , γ в неравенство 24:

$$\frac{1}{\sqrt[3]{4}} 0.23^{\frac{2}{3}} - 0.23 \approx 0.0065 > 0.06.$$

Таким образом, при значениях параметров из второй области параметрического портрета действительно получим неустойчивый узел.

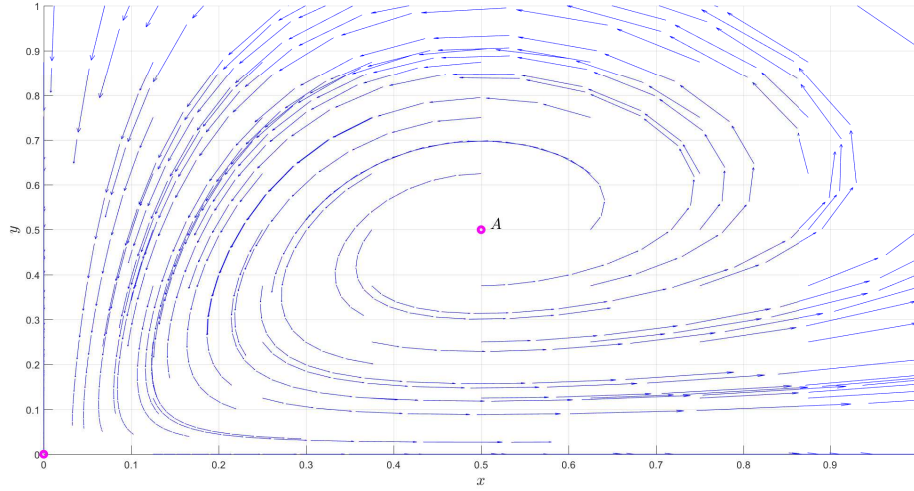


Рис. 18: Фазовый портрет системы при $\mu = 0.5$, $\gamma = 0.5$

На Рис. 18 точка $A(0.5, 0.5)$ является неустойчивым фокусом. Убедимся в этом, подставив данные значения параметров в неравенство 25:

$$\frac{1}{\sqrt[3]{4}} 0.5^{\frac{2}{3}} - 0.5 \approx -0.103 < 0.5.$$

Таким образом, для параметров из первой области параметрического портрета особая точка — неустойчивый фокус.

3.6 Исследование предельных циклов

Определение 19. Кривая Γ — предельный цикл системы 19, если

1. Γ — траектория системы 19,
2. Γ — замкнутая кривая,
3. В малой окрестности Γ нет других замкнутых траекторий системы.

Определение 20. Бифуркация положения равновесия, соответствующая появлению собственных чисел $\lambda_{1,2} = \pm i\omega_0$, $\omega_0 > 0$, называется бифуркацией Пуанкаре—Андронова—Хопфа или бифуркацией рождения цикла.

В 3.4 получили комплексные собственные значения только при рассмотрении неустойчивого фокуса. Однако было отмечено, что $\operatorname{Re} \lambda_{1,2} > 0$ ввиду положительности значений параметров. Таким образом, в рассматриваемой задаче 18 нет бифуркации Пуанкаре—Андронова—Хопфа, а следовательно нет предельных циклов.

3.7 Биологическая интерпретация полученных результатов

В самом начале исследования мы перешли от исходной системы к новой с помощью замены переменных:

$$\begin{cases} \dot{x} = \frac{x^2}{\gamma + x} - xy, \\ \dot{y} = -\mu y + xy, \end{cases} \quad (x, y) \in \mathbb{R}_+^2, \quad \gamma > 0, \quad \mu > 0.$$

Здесь $\gamma = \frac{Nd}{a} > 0$, $\mu = \frac{c}{a} > 0$.

Заметим, что биологическая интерпретация не изменилась:

1. Функция, отвечающая за размножение жертв так и осталась нелинейной. Причём за счёт N в знаменателе она описывает нелинейность при малой численности популяции.
2. Функция, описывающая вымирание хищников осталась линейной, изменилась лишь скорость вымирания. Она также пропорциональна скорости вымирания хищников в первоначальной и системе.
3. Трофическая функция осталась линейной. Скорость выедания жертвы осталась прежней.
4. Коэффициент переработки хищником пищи в собственную биомассу остался постоянным.

В 3.4 выявили, что ненулевое положение равновесия может быть фокусом или узлом, причём в обоих случаях особые точки неустойчивы. Это значит, что возможны два варианта развития популяций жертв и хищников. Ввиду неустойчивости при малых изменениях параметров системы траектории будут изменяться. Рассмотрим подробнее каждый случай:

1. Рассмотрим случай, проиллюстрированный на *Рис. 18*. Жертвы быстро размножаются при малом числе хищников. Далее при большом числе жертв, число хищников начинает быстро расти, что логично, так как они начинают выедать больше жертв. В связи с этим численность жертв начинает уменьшаться, после чего и количество хищников сокращается. Такой же принцип повторяется дальше. Полученная интерпретация удовлетворяет простейшим биологическим представлениям о взаимодействии хищников и жертв.
2. Рассмотрим случай, изображённый на *Рис. 17*. Сначала число жертв стремительно возрастает до какого-то значения. После этого численность хищников начинает быстро увеличиваться, а число жертв быстро уменьшаться, это связано с тем, что хищники начинают выедать большее число жертв. Этот процесс происходит до момента вымирания жертв, после чего вымирают и хищники.

Важно отметить, что ранее было выделено также нулевое положение равновесия, причём оно было устойчивым для некоторых траекторий. Нулевая особая точка соответствует вымиранию обоих видов.

Список литературы

- [1] [https://sawiki.cs.msu.ru/index.php/Неподвижные точки системы](https://sawiki.cs.msu.ru/index.php/Неподвижные_точки_системы).
- [2] [https://sawiki.cs.msu.ru/index.php/Бифуркационная диаграмма](https://sawiki.cs.msu.ru/index.php/Бифуркационная_диаграмма).
- [3] Абрамова В. В. *Лекции по динамическим системам и биоматематике*, 2024.
- [4] Братусь А. С., Новожилов А. С., Платонов А. П. *Динамические системы и модели биологии*, 2011.